

## دانشگاه هرمزگان

### دانشکده فنی و مهندسی

پایان نامه کارشناسی ارشد رشته مهندسی عمران-سازه های دریایی

عنوان پایان نامه:

تحلیل پاسخ دینامیکی غیرخطی سکوی ستونی تحت تأثیر نیروهای ناشی از امواج

استاد راهنما:

دکتر کیوان صادقی

استاد مشاور:

دکتر سعید نیازی

دانشجو:

حسن حدیدی

خرداد ماه ۱۳۸۹

بِسْمِ اللّٰهِ الرَّحْمٰنِ الرَّحِيْمِ

تعدیم به

پردم، نتوه و استوار

مادرم، مهربان و دلوز

برادرانم، یار و همدرم

ودوستانم، همیشه همراه

سپاس فدای را سزاست که به من قدرت اندیشیدن ارزانی داشت.

بر خود واجب می‌دانم تا از زهمات تمام افرادی که در انجام این پایان‌نامه مرا یاری

نموده‌اند تشکر و قدردانی نمایم.

از استاد راهنمای گرامی:

### آقای دکتر کیوان صادقی

که با راهنمایی‌های بی‌دیگران انجام این پایان‌نامه را برای بندۀ میسر نمودند.

و از استاد مشاور محترم:

### آقای دکتر سعید نیازی

که همواره مددگار و مشوق بندۀ بوده‌اند کمال تشكیر و قدردانی را دارم.

همچنین از سایر اساتید و کارکنان گروه مهندسی عمران تشكیر می‌نمایم. در پایان از

دوستان عزیز و گرامی آقایان، مهندس (وحید) فیروز آبادی و مهندس (وزبه منصوری) که در

تمام مرافق انجام این پایان‌نامه مرا یاری نمودند نهایت تشکر و قدردانی را دارم.

## چکیده پایان نامه:

سکوهای شناور فراساحل ، به منظور اکتشاف ، استخراج و تولید نفت و گاز در دریا به کار می‌روند . یکی از انواع این سکوها که در آبهای عمیق کاربرد دارد سکوی ستونی یا Spar Platform است . این نوع سکو بدلیل خصوصیات دینامیکی قابل قبول و بدلیل هندسه ساده آن که هزینه ساخت را پایین می‌آورد مورد علاقه محققین می‌باشد .

برای تحلیل دینامیکی سکوهای دریایی دو روش تحلیل در حوزه زمان و تحلیل در حوزه فرکانس مورد استفاده قرار می‌گیرد . کاربرد روش حوزه فرکانس از حوزه زمان ساده‌تر بوده و پارامترهای آماری مربوط به پاسخ سکو را با هزینه نسبتاً کمی مشخص می‌کند. این روش فقط برای سیستمهای خطی قابل استفاده است. در نتیجه نتایج آن که با خطی سازی برخی ترمehای غیر خطی بدست می‌آید، خصوصاً وقتی که پدیده‌های غیر خطی اهمیت می‌یابند، می‌تواند با خطأ همراه باشد. در این شرایط، تحلیل در حوزه زمان ضرورت می‌یابد. هدف اصلی از این پایان نامه تحلیل غیرخطی پاسخ دینامیکی یک سکوی Spar مشخص در حوزه زمان می‌باشد.

با افزایش عمق آب ، سیستم مهاربندی و سیستم رایزرهای سکو بزرگتر و سنگین‌تر می‌شود و روش سنتی تحلیل یک سکو به صورت مجزا از سیستم‌های فرعی آن، ممکن است در آبهای عمیق با خطای غیر قابل چشم پوشی همراه شود. از این رو در این پژوهش سعی خواهد شد تحلیل دینامیکی همزمان سکو با سیستم‌های فرعی آن نیز بررسی شود.

## کلمات کلیدی :

سکوی ستونی، تحلیل دینامیکی غیرخطی، حوزه زمان

## فهرست مطالب

صفحه	عنوان
I	تشکر و قدردانی
II	چکیده
III	فهرست مطالب
VI	فهرست اشکال
VIII	لیست علائم مورد استفاده در پایان نامه
<b>فصل اول: مقدمه، تاریخچه‌ای از تحقیق‌های پیشین و بیان اهداف پژوهه</b>	
۲	۱-۱- تاریخچه ساخت سکوهای دریابی
۵	۱-۲- انواع سکوهای دریابی
۶	۲-۱- سکوهای ستونی
۱۰	۲-۳-۱- مروری بر سوابق و تحقیقات پیشین
۱۱	۴-۱- روش انجام پژوهش و ساختار تحقیق
<b>فصل دوم : نیروهای وارد بر سکوهای شناور</b>	
۱۵	۱-۲- مقدمه
۱۶	۲-۲- تعیین حرکتها و دستگاههای مختصات
۱۷	۳-۲- معادلات امواج سطحی
۱۷	۱-۳-۲- مساله مقدار مرزی ( BVP ) امواج سطحی
۱۹	۲-۳-۲- تئوری موج
۲۲	۳-۳-۲- تئوری تفرق و تشعشع
۲۳	۱-۳-۳-۲- مساله مقدار مرزی مرتبه اول

۲۶	- مساله مقدار مرزی مرتبه دوم
۲۸	-۴-۳-۲- انتگرال گیری از شرایط مرزی سطح آب در حوزه زمان
۲۹	-۵-۳-۲- شرایط مرزی اولیه
۳۰	-۴-۲- نیروهای هیدرودینامیک
۳۰	-۱-۴-۲- ممانها و نیروهای هیدرودینامیک مرتبه اول
۳۲	-۲-۴-۲- نیروها و ممانهای هیدرودینامیک مرتبه دوم
۳۳	-۵-۲- نیروهای ناشی از خطوط لنگر

### **فصل سوم : روش المان مرزی**

۳۹	- ۱-۳- مقدمه
۴۰	- ۲-۳- مسائل مقدار مرزی
۴۱	- ۳-۳- فرمول بندی انتگرال مرزی
۴۱	- ۴-۳- قضایای گرین
۴۲	- ۵-۳- فرمول پتانسیل سه بعدی
۴۵	- ۶-۳- پیاده سازی عددی
۴۶	- ۱-۶-۳- تقسیم مرز به المان ها
۴۹	- ۲-۶-۳- انتگرال گیری عددی از هسته ها
۵۲	- ۳-۶-۳- اعمال شرایط مرزی
۵۳	- ۷-۳- انتگرال گیری در حوزه زمان

### **فصل چهارم : تحلیل دینامیکی**

۵۶	- ۱-۴- مقدمه
۵۷	- ۲-۴- معادله حرکت

۶۰ - تحلیل دینامیکی غیرخطی در حوزه زمان

۶۱ - ۱-۳-۴ روش نیومارک

۶۱ - ۲-۳-۴ کاربرد روش نیومارک در حل معادله حرکت سیستم

۶۴ - ۳-۳-۴ الگوریتم حل معادله حرکت به روش نیومارک

### فصل پنجم : بررسی نتایج و نتیجه گیری

۶۷ - ۱-۵ نتایج عددی

۷۹ - ۲-۵ نتیجه گیری و پیشنهاد ها

### پیوست ها

۸۰ پیوست (الف)

۸۱ پیوست (ب)

۸۳ پیوست (پ)

۸۸ مراجع

## فهرست اشکال

صفحه	عنوان
۲	شکل ۱-۱- اولین چاه نفت
۷	شکل ۱-۲- انواع سکوهای ستونی
۱۶	شکل ۱-۲- دستگاه‌های مختصات مورد استفاده
۳۳	شکل ۲-۲- نحوه آرایش خطوط لنگر
۳۴	شکل ۲-۳- مشخصات خط لنگر
۳۵	شکل ۴-۲- دیاگرام آزاد قسمتی از خط لنگر
۴۸	شکل ۱-۳- المان مثلثی شش گرهای مرتبه دوم و دستگاه مختصات فرعی بکار رفته
۵۸	شکل ۱-۴- بردار مکان سکو
۷۰	شکل ۵ - ۱ - المان بندی سکوی شناور و سطح آب
۷۱	شکل ۵ - ۲ - تاریخچه زمانی نیروی surge محاسبه شده وارد بر سکو
۷۱	شکل ۵ - ۳ - تاریخچه زمانی نیروی heave محاسبه شده وارد بر سکو
۷۱	شکل ۵ - ۴ - تاریخچه زمانی لنگر pitch محاسبه شده وارد بر سکو
۷۲	شکل ۵ - ۵ - تاریخچه زمانی حرکت surge محاسبه شده سکوی شناور
۷۲	شکل ۵ - ۶ - تاریخچه زمانی حرکت heave محاسبه شده سکوی شناور
۷۲	شکل ۵ - ۷ - تاریخچه زمانی حرکت pitch محاسبه شده سکوی شناور
۷۳	شکل ۵ - ۸ - تاریخچه زمانی حرکتهای surge آزمایشگاهی سکوی شناور
۷۳	شکل ۵ - ۹ - تاریخچه زمانی حرکتهای pitch آزمایشگاهی سکوی شناور
۷۵	شکل ۵ - ۱۰ - تاریخچه زمانی سرعت surge محاسبه شده سکوی شناور
۷۶	شکل ۵ - ۱۱ - تاریخچه زمانی سرعت heave محاسبه شده سکوی شناور

- ۷۶ شکل ۵ - ۱۲ - تاریخچه زمانی سرعت pitch محاسبه شده سکوی شناور
- ۷۶ شکل ۵ - ۱۳ - تاریخچه زمانی شتاب surge محاسبه شده سکوی شناور
- ۷۷ شکل ۵ - ۱۴ - تاریخچه زمانی شتاب heave محاسبه شده سکوی شناور
- ۷۷ شکل ۵ - ۱۵ - تاریخچه زمانی شتاب pitch محاسبه شده سکوی شناور
- ۷۸ شکل ۵ - ۱۶ - پروفیل سطح آب در زمان  $t=75s$
- ۸۴ شکل I - المان مثلثی به کار رفته در دستگاه مختصات محلی
- ۸۶ شکل II - زوایا و طولهای بکار رفته در تغییر متغیر

## لیست علائم مورد استفاده در پایان نامه

- $A^{(1)}$ : حرکت چرخشی مرتبه اول جسم  
 $\dot{A}^{(1)}$ : سرعت چرخشی مرتبه اول جسم  
 $A^{(2)}$ : حرکت چرخشی مرتبه دوم جسم  
 $\dot{A}^{(2)}$ : سرعت چرخشی مرتبه دوم جسم  
 $\alpha$ : ضریب میرایی
- $\alpha_1^{(1)}$ : چرخش مرتبه اول جسم در راستای roll  
 $\alpha_2^{(1)}$ : چرخش مرتبه اول جسم در راستای pitch  
 $\alpha_3^{(1)}$ : چرخش مرتبه اول جسم در راستای yaw  
 $\alpha_1^{(2)}$ : چرخش مرتبه دوم جسم در راستای roll  
 $\alpha_2^{(2)}$ : چرخش مرتبه دوم جسم در راستای pitch  
 $\alpha_3^{(2)}$ : چرخش مرتبه دوم جسم در راستای yaw  
 $\beta$ : عرض ناحیه میرایی  
 $\epsilon$ : پارامتر آشتفتگی  
 $\Phi$ : پتانسیل سرعت  
 $\Phi_I$ : پتانسیل سرعت موج برخورده  
 $\Phi_S$ : پتانسیل سرعت موج متفرق شده  
 $\Phi_R$ : پتانسیل سرعت موج منتشر شده از جسم  
 $\eta$ : جابجایی سطح آزاد آب  
 $\eta_I$ : جابجایی سطح آزاد آب ناشی از موج برخورده  
 $\eta_S$ : جابجایی سطح آزاد آب ناشی از موج متفرق شده  
 $\eta_R$ : جابجایی سطح آزاد آب ناشی از موج منتشر شده از جسم  
 $\lambda$ : طول موج  
 $\nu$ : پارامتر میرایی  
 $\theta$ : زاویه‌ای است که راستای موج برخورده با محور  $x$  می‌سازد.  
 $\rho$ : چگالی سیال  
 $\omega$ : فرکانس موج برخورده
- $\boldsymbol{\omega} = (\omega_1, \omega_2, \omega_3)^t$ : سرعت زاویه‌ای در دستگاه مختصات  $oxyz$
- $\Xi^{(1)}$ : حرکت انتقالی مرتبه اول جسم  
 $\dot{\Xi}^{(1)}$ : سرعت انتقالی مرتبه اول جسم  
 $\Xi^{(2)}$ : حرکت انتقالی مرتبه دوم جسم  
 $\dot{\Xi}^{(2)}$ : سرعت انتقالی مرتبه دوم جسم
- $\gamma_1^{(1)}$ : حرکت مرتبه اول جسم در راستای surge  
 $\gamma_2^{(1)}$ : حرکت مرتبه اول جسم در راستای sway  
 $\gamma_3^{(1)}$ : حرکت مرتبه اول جسم در راستای heave

- $\gamma_1^{(2)}$ : حرکت مرتبه دوم جسم در راستای surge  
 $\gamma_2^{(2)}$ : حرکت مرتبه دوم جسم در راستای sway  
 $\gamma_3^{(2)}$ : حرکت مرتبه دوم جسم در راستای heave  
 $\hat{o}\hat{x}\hat{y}\hat{z}$ : جابجایی مرکز ثقل جسم در دستگاه مختصات  $\hat{o}\hat{x}\hat{y}\hat{z}$   
 $A$ : حجم شناوری جسم  
 $\hat{\mathbf{a}}_g$ : شتاب مرکز ثقل جسم  
 $A_{wp}$ : مساحت سطح تر شده  
 $C(P)$ : ضریب شکل  
 $d$ : عمق آب  
 $D$ : قطر عضو سازه‌ای  
 $\hat{\mathbf{F}}$ : نیروی کل وارد بر جسم در دستگاه مختصات  $\hat{o}\hat{x}\hat{y}\hat{z}$   
 $F^{(1)}$ : نیروی ناشی از پتانسیل مرتبه اول  
 $F^{(2)}$ : نیروی ناشی از پتانسیل مرتبه دوم  
 $F_D^{(1)}$ : نیروی ناشی از پتانسیل‌های موج برخوردي و تفرق مرتبه اول  
 $F_D^{(2)}$ : نیروی ناشی از پتانسیل‌های موج برخوردي و تفرق مرتبه دوم  
 $F_{HS}^{(1)}$ : نیروی بازگرداننده هیدرواستاتیک مرتبه اول  
 $F_{HS}^{(2)}$ : نیروی بازگرداننده هیدرواستاتیک مرتبه دوم  
 $F_R^{(1)}$ : نیروی ناشی از پتانسیل تشعشع مرتبه اول  
 $F_R^{(2)}$ : نیروی ناشی از پتانسیل تشعشع مرتبه دوم  
 $g$ : شتاب ثقل  
 $G$ : تابع گرین  
 $\mathbf{H}_g$ : مومنتوم زاویه‌ای  
 $I_g$ : ممان اینرسی جرمی نسبت به مرکز ثقل در دستگاه مختصات  $\hat{o}\hat{x}\hat{y}\hat{z}$   
 $k$ : عدد موج  
 $K$ : ماتریس سختی جسم  
 $\hat{K}$ : ماتریس سختی اصلاح شده  
 $L$ : طول موج برخوردي  
 $\hat{\mathbf{L}}$ : مومنتوم خطی  
 $m$ : جرم جسم صلب  
 $M$ : ماتریس جرم جسم  
 $\mathbf{M}_g$ : ممان کل نیروهای وارد بر جسم نسبت به مرکز ثقل در دستگاه مختصات  $\hat{o}\hat{x}\hat{y}\hat{z}$   
 $n$ : بردار یکه عمود بر سطح  
 $N_c$ : تابع شکل نقطه C ام المان  
 $P^{(1)}$ : فشار ناشی از پتانسیل مرتبه اول  
 $P^{(2)}$ : فشار ناشی از پتانسیل مرتبه دوم

$r$  : بردار مکان نقاط

$t$  : زمان

$T$  : کشش در کابل

$T_0$  : کشش در کابل در نقطه‌ای که کابل افقی است

$T_H$  : مولفه کشش کابل در راستای افقی

$u$  : بردار سرعت ذرات سیال

$u_x$  : سرعت ذرات سیال در راستای محور x

$u_y$  : سرعت ذرات سیال در راستای محور y

$\hat{v}_g$  : سرعت مرکز ثقل جسم

$w$  : وزن واحد طول کابل زنجیری در آب

$x_f$  : فاصله مرکز سطح تر شده تا مرکز ثقل در راستای x

$y_f$  : فاصله مرکز سطح تر شده تا مرکز ثقل در راستای y

## فصل اول

مقدمه، تاریخچه‌ای از تحقیق‌های پیشین و بیان اهداف پژوهش

## فصل اول

### مقدمه، تاریخچه‌ای از تحقیق‌های پیشین و بیان اهداف پژوهه

#### ۱-۱- تاریخچه ساخت سکوهای دریایی

حدود ۱۵۰ سال از حفاری اولین چاه نفت می‌گذرد. اولین چاه نفتی که در جهان حفاری شد در وسط یک مزرعه ساکت و آرام در شمال غربی پنسیلوانیای آمریکا توسط کلونل دریک<sup>۱</sup> در سال ۱۸۵۹ حفاری شد. او این چاه را به کمک یک سرمته که به یک کابل متصل بود و توسط یک ماشین بخار به حرکت در می‌آمد، حفر کرد. این چاه در عمق ۵/۶۹ فوتی فوران کرد و جستجوگران خود را در شادی وافری غرق کرد. بعد از کلونل ادوین دریک ۶۰ ساله که خود را سرهنگ بازنشسته ارتضی معرفی می‌کرد جستجوی جهانی برای یافتن نفت آغاز شد.



شکل ۱-۱- اولین چاه نفت

---

colonel drake - <sup>۱</sup>

همگام با پیشرفت تکنولوژی، نیاز بشر به استفاده از منابع انرژی افزایش یافت و سبب پیشرفت صنایع اکتشاف، حفاری، استخراج و تولید نفت و گاز به عنوان یکی از مهمترین منابع انرژی، گردید.

با افزایش تقاضا برای نفت و کاهش ذخایر نفت خام در خشکی، حفاری در دریاها آغاز شد. احتمالاً اولین تلاش جهت دستیابی به نفت در بستر دریا در کالیفرنیا حدود سال ۱۹۰۰ میلادی به ثمر رسید که چاههای نفت از روی اسکله‌ای متصل به ساحل و به فاصله ۵۰۰ متر از ساحل حفر گردید.

در سال ۱۹۰۹ در دریاچه فری<sup>۱</sup> در کادوپاریش لا<sup>۲</sup> با استفاده از شمعهای چوبی و دکلهای حفاری چوبی سکویی چوبی ساخته شد و از روی آن چاههایی حفر گردید. بدین ترتیب اتصال سکو به ساحل از بین رفت و سکو با استفاده از شمع در دریا احداث گردید.

در سال ۱۹۲۰ یک سکوی چوبی در آبهای کم عمق دریاچه ماراسی بیو<sup>۳</sup> واقع در ونزوئلا ساخته شد و از روی آن عملیات حفاری انجام پذیرفت. البته از آنجایی که شدت امواج در این دریاچه به مراتب کمتر از دریا می‌باشد، نمی‌توان آن را سکوی دریایی قلمداد نمود.

ایجاد سکوهای چوبی با استفاده از شمعهای چوبی همچنان ادامه یافت به نحوی که در سال ۱۹۳۳ سکویی در عمق ۳/۷ متری آب و به فاصله یک کیلومتری از ساحل احداث گردید.

عملیات احداث سکوهای چوبی تا سال ۱۹۴۰ ادامه یافت و پس از آن به علت شروع جنگ جهانی دوم گسترش عملیات معلق گردید.

---

Ferry - <sup>۱</sup>

Caddo parish la - <sup>۲</sup>

Maracibio - <sup>۳</sup>

در زمان جنگ جهانی دوم و پس از آن به دلیل نیازهای جنگ صنایع فولاد پیشرفت شایان توجهی نمود و پس از پایان جنگ سازه‌های فولادی از جمله سکوهای فولادی رواج یافتند. اولین سکوی فولادی در سال ۱۹۴۶ میلادی در عمق  $\frac{3}{4}$  متری ساخته شد. شایان ذکر است که جهت احداث این سکو ۲۳۸ شمع بکار رفت.

اولین سکوی فولادی از نوع شابلونی<sup>۱</sup> با روش ساخت کنونی (یعنی ساخت در ساحل و سپس حمل و نصب در محل) در سال ۱۹۴۷ در آبهای خلیج مکزیک ساخته شد که این سکو در ۲۹ کیلومتری از ساحل و در عمق ۱/۶ متری نصب گردید. سپس یک سکوی دیگر از این نوع در عمق ۲/۱۵ متری احداث شد و بدین ترتیب یک صنعت جدید متولد گردید. در طول دوره پیشرفت سکو سازی به موازات پیشرفت صنایع فولاد به مرور قطر شمع‌ها بزرگ‌تر گردیده و از تعداد آنها کاسته شد و روش‌های اجرایی بهبود یافت.

در سال ۱۹۵۵ برای اولین بار با ساخت سکویی به طور کامل در ساحل و حمل توسط بارج و نصب به وسیله بارج‌های جرثقیل دار عظیم در عمق ۵/۳۰ متری، ساخت سکوهای بلندتر رواج یافت و روز به روز بر ابعاد سکوها افزوده گردید. سکوها در اعماق بیشتر و به فاصله دورتر از ساحل نصب شدند.

همانگونه که تشریح گردید در روند تکاملی ساخت سکوها مسائل نفتی - سیاسی و بعضًا نظامی (از جمله سکوی رادار تگزاس) مطرح بوده شتاب زیادی به چشم می‌خورد و این صنعت که می‌توان گفت حدود ۵۰ سال قدمت دارد مراحل پیشرفت زیادی را پشت سر نهاده است. امروزه انواع بسیار زیادی از سکوها از جمله سکوهای شابلونی، سکوهای خودبالابر، سکوهای نیمه غوطه‌ور، سکوهای ستونی و ... طراحی و در دریاها نصب می‌شوند.

## ۲-۱- انواع سکوهای دریایی

رویکردهای متفاوتی جهت تعیین انواع سکوهای دریایی وجود دارد. در اینجا سکوهای دریایی به سه گروه عمده سکوهای ثابت، سکوهای شناور و سکوهای تطبیقی تقسیم شده‌اند که هر کدام بر حسب عمق و شرایط آب و هوایی دارای انواع گوناگونی می‌باشند (براتی ۱۳۸۱).

### • سکوهای ثابت

سکوهای ثابت برای مناطق با عمق آب کم تا متوسط مناسب هستند. این نوع سکوها که معمولاً فولادی یا بتی هستند، دارای انواع متداول سکوهای ثابت شابلونی، سکوهای وزنی، سکوهای خودبالابر و سکوهای تراز شونده هستند. با افزایش عمق آب، وزن سکو و بالطبع هزینه ساخت سکوهای ثابت به طور چشمگیری افزایش می‌یابد، تا آنجا که برای اعمق بالاتر از ۳۰۰ متر، ساخت سکوهای ثابت تقریباً مقرر به صرفه نیست؛ این امر نیاز به تکنولوژی‌های جدید را به منظور کاهش وزن و هزینه سکو آشکار می‌نماید. این امر سبب بوجود آمدن سکوهای شناور و تطبیقی گردید.

### • سکوهای شناور

سکوهای شناور نوعی از سکوهای دور از ساحل هستند که با استفاده از نیروی بیانسی روی آب شناور هستند. مخازن بالاست جهت تنظیم ارتفاع سکو به کار می‌روند. تثیت موقعیت جانبی سکو توسط خطوط لگر یا رانش دهنده‌های متصل به سکو انجام می‌شود. سکوهای شناور دارای انواع مختلفی هستند که می‌توان به سکوهای نیمه معروف، سکوهای پایه کششی و سازه‌های شناور ذخیره و بارگیری یا سکوهای بهره‌برداری کشتی شکل اشاره نمود. سکوهای شناور ستونی یا spar نوعی دیگر از این نوع سکوها هستند که در این رساله مورد بررسی قرار می‌گیرند.

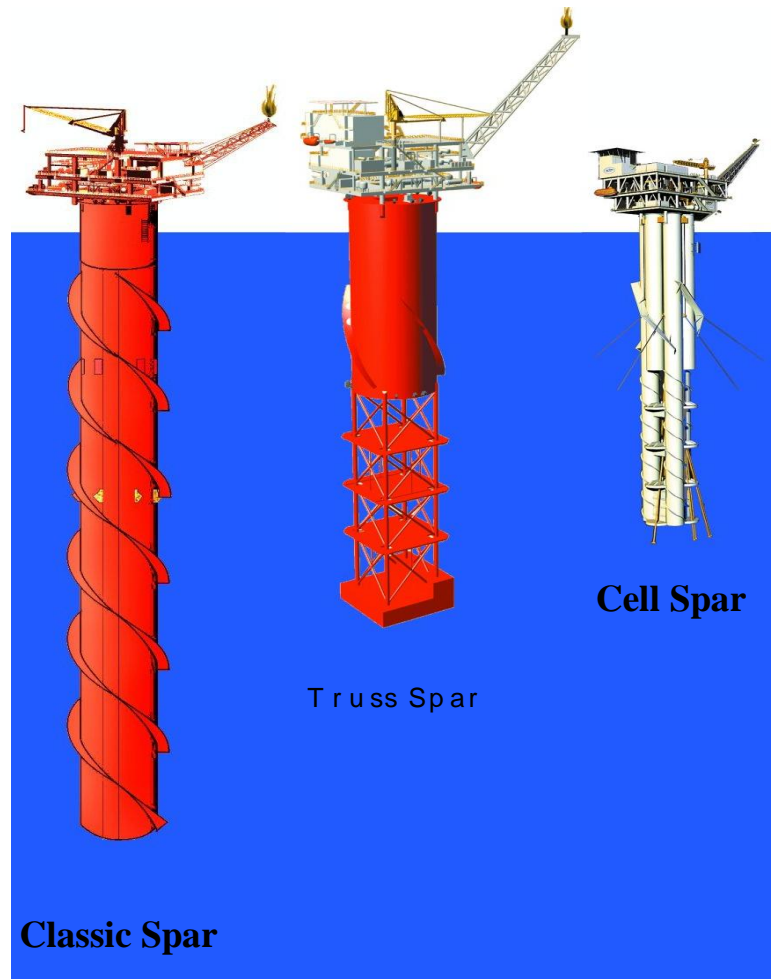
## • سکوهای تطبیقی

دسته دیگری از سکوها که در مناطق آب عمیق بکار می‌روند، سکوهای تطبیقی هستند. رفتار این سکوها در برابر نیروهای عمودی شیوه سکوهای ثابت بوده ولی در برابر نیروهای جانبی دارای رفتاری همانند سکوهای شناور می‌باشد.

در مناطقی که عمق آب زیاد باشد، یکی از محدودیتهای کاربرد سکوهای ثابت، مشکل بودن عملیات شمع‌کوبی و یا اجرای پی‌های وزنی و قطور شدن المانهای سازه‌ای در این شرایط است. با کاربرد پی‌های انعطاف‌پذیر یا مفصلی در سکوهای تطبیقی، این مشکل برطرف می‌شود که مزیت بزرگ آنها نسبت به سایر انواع سکوها می‌باشد. این سکوها دارای انواع مختلفی بوده که از میان آنها می‌توان به سکوهای برجی مهارشده و سکوهای برجی مفصلی اشاره کرد (براتی ۱۳۸۱).

### ۲-۱ سکوهای ستونی

سکوهای ستونی یکی از انواع سازه‌های شناور مورد قبول به منظور اکتشاف، حفاری، استخراج، عمل آوری و ذخیره نفت خام و گاز طبیعی در آبهای عمیق می‌باشند. سکوهای ستونی به دلایلی همچون سادگی سازه، کاهش هزینه‌ها، حرکات کم در امواج اقیانوسی به دلیل دوره تناوب طبیعی نسبتاً طولانی آنها، کاهش تنش در خطوط لنگر و انعطاف پذیری در استفاده از رایزرها، نسبت به سایر انواع سازه‌های شناور گزینه بسیار مناسبی هستند. سکوهای ستونی دارای انواع متفاوتی هستند که سه نوع عمدۀ این سکوها عبارتند از سکوهای ستونی کلاسیک، سکوهای ستونی خربایی و سکوهای ستونی سلولی.



شکل ۱-۲- انواع سکوهای ستونی

سکوی ستونی کلاسیک<sup>۱</sup> یک استوانه عمودی بسیار بزرگ با سطح مقطع دایروی ثابت و آبخور حدود ۲۰۰ متر است. یکی از دلایل انتخاب این نوع سکو این است که به دلیل آبخور زیاد، حرکات heave و pitch بسیار کمی دارد و می‌توان از رایزرهای صلب استفاده نمود (Koo, 2003).

یک سکوی ستونی کلاسیک در تمام طول خود دارای یک سطح مقطع دایره‌ای است و به سه قسمت اصلی تقسیم می‌شود. بالاترین قسمت مخزن شناوری<sup>۲</sup> نام دارد که عرشه را توسط خاصیت بویانسی نگه می‌دارد. این قسمت وظیفه کنترل وزنه‌های تعادل مختلف جهت شرایط بارگذاری مختلف را نیز بر عهده دارد. قسمت

---

Classic Spar - <sup>۱</sup>

Buoyancy Tank - <sup>۲</sup>